

研究热流体的 13 速格子 Bhatnagar-Gross-Krook 模型*

李华兵

(桂林电子工业学院基础部 桂林 541004)

孔令江 刘慕仁 何云

(广西师范大学物理与电子科学系 桂林 541004)

(1999 年 2 月 10 日收到, 1999 年 7 月 13 日收到修改稿)

采用 13 速六方格子 Bhatnagar-Gross-Krook 模型研究热流体力学. 在根据 Fourier 热传导定律确定局域平衡分布函数的系数时, 可引入参数 k , 使热导系数 $\lambda = (2\rho\epsilon + 9k) \left(\tau - \frac{1}{2} \right)$, 切粘滞系数与热导系数之比的 Prandtl 数不再局限于常数 $1/2$, 从而扩大了模型的应用范围. 该模型可用于高雷诺数的热流体的模拟.

PACC: 0540; 0351

1 引 言

在格子气自动机模型基础上发展起来的格子 Boltzmann (LB) 方法^[1], 已被成功地用来模拟没有温度影响的流场分布^[2-6]. 但是对于实际的粘滞流, 只要存在速度梯度就必然存在热量的产生和运输, 因而很有必要把 LB 方法进一步扩展到热流体领域. 文献 [7-11] 用 LB 方法对热流体性质进行研究, 得到了一些有意义的结果. 但在这些研究热流体的模型中, 切粘滞系数 $\mu = \rho \left(\tau - \frac{1}{2} \right)$, 热流矢量 $q^{(1)}$ 取 $q^{(1)} = 2\rho \left(\tau - \frac{1}{2} \right) \nabla \epsilon$, 使热导系数 $\lambda = 2\rho \left(\tau - \frac{1}{2} \right)$, 切粘滞系数 μ 和热导系数 λ 之比的 Prandtl 数 $P_r = \mu/\lambda = 1/2$, 因此, 模型的应用范围受到了限制.

本文将用速度大小为 $0, 1, \sqrt{3}$ 的 13 速六方格子 Bhatnagar-Gross-Krook (BGK) 模型(图 1) 研究热流体运动. 该模型由于对称性高, 因此只要满足能量守恒和伽利略不变性, 则压力与速度无关自动得到满足. 同时在由热流矢量确定局域平衡分布函数的系数时, 取 $q^{(1)} = (2\rho\epsilon + 9k) \left(\tau - \frac{1}{2} \right) \nabla \epsilon$ 的形式, 即引

入了参数 k , 使 $P_r = \mu/\lambda$ 随 k 的取值可以小于、等于或大于 $1/2$, 从而扩大了模拟热流体的范围. 实际模拟表明, 该模型可以有效地降低切粘滞系数, 从而用于高雷诺数的热流体的模拟. 最后用该模型模拟了 Couette 流, 模拟结果与理论结果符合.

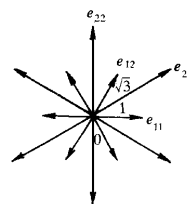


图 1 13 速六方格子示意图



2 13 速六方形格子 BGK 模型

模型如图 1 所示, 图中 e_{21} 为 e_{11}, e_{12} 的矢量和. 单粒子密度分布函数 $f_{p\alpha}(\mathbf{r}, t)$ 的动力学方程采用 BGK 模型, 即单弛豫演化方程

$$f_{p\alpha}(\mathbf{r} + \mathbf{e}_{p\alpha}, t + 1) - f_{p\alpha}(\mathbf{r}, t) = -\frac{1}{\tau} (f_{p\alpha}(\mathbf{r}, t) - f_{p\alpha}^{eq}(\mathbf{r}, t)), \quad (1)$$

* 国家自然科学基金(批准号: 19762001)及广西壮族自治区自然科学基金(批准号: 96130057)资助的课题.

其中 $f_{p\alpha}^{eq}(\mathbf{r}, t)$ 为局域平衡分布函数, $p = 0, 1, 2$ 为速度的大小, $\alpha = 1, \dots, 6$ 表示速度的方向, 并约定 $p = 0, \alpha = 0$ 时, $e_{p0} = 0$, τ 为弛豫时间, 稳定性要求 $\tau > 0.5$.

2.1 利用多尺度技术导出连续性方程、动量和能量方程

引进一个正的小参数 ϵ , 将 $f_{p\alpha}(\mathbf{r}, t)$ 按 ϵ 展开:

$$f_{p\alpha} = f_{p\alpha}^{eq} + \epsilon f_{p\alpha}^{(1)} + \epsilon^2 f_{p\alpha}^{(2)} + \dots \quad (2)$$

由质量、动量和能量守恒, 有

$$\begin{aligned} \sum_{p\alpha} f_{p\alpha}^{(j)} &= 0, \quad \sum_{p\alpha} e_{p\alpha} f_{p\alpha}^{(j)} = 0, \\ \sum \frac{1}{2} e^2 f_{p\alpha}^{(j)} &= 0 \quad j = 1, 2, \dots \end{aligned} \quad (3)$$

引进 t_1, t_2 时间尺度和 r_1 空间尺度: $t_1 = \epsilon t, t_2 = \epsilon^2 t, r_1 = \epsilon r$. 将 $f_{p\alpha}^{eq}(\mathbf{r} + e_{p\alpha} t + 1)$ 作 Taylor 展开, 只保留 ϵ^2 项.

$$\left(\frac{\partial}{\partial t_1} + e_{p\alpha j} \frac{\partial}{\partial x_{1j}} \right) f_{p\alpha}^{eq} = -\frac{1}{\tau} f_{p\alpha}^{(1)}, \quad (4)$$

$$\begin{aligned} \frac{\partial}{\partial t_2} f_{p\alpha}^{eq} + \left(1 - \frac{1}{2\tau} \right) \left(\frac{\partial}{\partial t_1} f_{p\alpha}^{(1)} \right. \\ \left. + e_{p\alpha j} \frac{\partial}{\partial x_{1j}} f_{p\alpha}^{(1)} \right) = -\frac{1}{\tau} f_{p\alpha}^{(2)}. \end{aligned} \quad (5)$$

由 (4) 和 (5) 式可以导出连续性方程、动量方程和能量方程:

$$\frac{\partial}{\partial t} \rho + \nabla \cdot \rho \mathbf{u} = 0, \quad (6)$$

$$\frac{\partial}{\partial t} \rho \mathbf{u} + \nabla \cdot \boldsymbol{\pi} = 0, \quad (7)$$

$$\frac{\partial \rho \epsilon}{\partial t} = -\nabla \cdot \mathbf{q} - \nabla \cdot (\rho \epsilon \mathbf{u}) + \mathbf{P} : \nabla \mathbf{u}, \quad (8)$$

其中 $\boldsymbol{\pi}$ 为动量通量张量, \mathbf{P} 为压强张量, $\rho \epsilon$ 为内能, \mathbf{q} 为热流矢量, 分别为

$$\boldsymbol{\pi} = \sum_{p\alpha} \left[f_{p\alpha}^{eq} + \left(1 - \frac{1}{2\tau} \right) \epsilon f_{p\alpha}^{(1)} \right] e_{p\alpha} e_{p\alpha}, \quad (9)$$

$$\begin{aligned} \mathbf{P} = - \sum_{p\alpha} \left[f_{p\alpha}^{eq} + \left(1 - \frac{1}{2\tau} \right) \epsilon f_{p\alpha}^{(1)} \right] e_{p\alpha} \\ - \mathbf{u} \chi (e_{p\alpha} - \mathbf{u}), \end{aligned} \quad (10)$$

$$\rho \epsilon = \sum_{p\alpha} f_{p\alpha} \frac{1}{2} (e_{p\alpha} - \mathbf{u})^2, \quad (11)$$

$$\begin{aligned} \mathbf{q} = \sum_{p\alpha} \left[f_{p\alpha}^{eq} + \left(1 - \frac{1}{2\tau} \right) \epsilon f_{p\alpha}^{(1)} \right] \frac{1}{2} (e_{p\alpha} \\ - \mathbf{u}) \chi (e_{p\alpha} - \mathbf{u}) = \boldsymbol{\pi} + \rho \mathbf{u} \mathbf{u}. \end{aligned} \quad (12)$$

在能量方程 (8) 中, 等号左边为能量的时间变化率, 右边第一项为热扩散的贡献, 第二项为热传导的贡

献, 第三项为粘滞热产生的贡献. 而 \mathbf{q} 可以写为

$$\mathbf{q} = \mathbf{q}^{eq} + \mathbf{q}^{(1)}, \quad (13)$$

其中

$$\mathbf{q}^{eq} = \sum_{p\alpha} f_{p\alpha}^{eq} \frac{1}{2} (e_{p\alpha} - \mathbf{u}) \chi (e_{p\alpha} - \mathbf{u}), \quad (14)$$

$$\mathbf{q}^{(1)} = \sum_{p\alpha} \left(1 - \frac{1}{2\tau} \right) \epsilon f_{p\alpha}^{(1)} \frac{1}{2} (e_{p\alpha} - \mathbf{u}) \chi (e_{p\alpha} - \mathbf{u}). \quad (15)$$

同理

$$\boldsymbol{\pi} = \boldsymbol{\pi}^{eq} + \boldsymbol{\pi}^{(1)}, \quad (16)$$

其中

$$\boldsymbol{\pi}^{eq} = \sum_{p\alpha} f_{p\alpha}^{eq} e_{p\alpha} e_{p\alpha}, \quad (17)$$

$$\boldsymbol{\pi}^{(1)} = \sum_{p\alpha} \left(1 - \frac{1}{2\tau} \right) \epsilon f_{p\alpha}^{(1)} e_{p\alpha} e_{p\alpha}. \quad (18)$$

2.2 局域平衡分布函数 $f_{p\alpha}^{eq}$ 的确定

由统计物理, 局域平衡分布函数可表示为局域平衡量的函数, 因此可把 $f_{p\alpha}^{eq}$ 展开为 \mathbf{u} 的幂级数 (保留到 u^3 项):

$$\begin{aligned} f_{p\alpha}^{eq} = A_p + B_p e_{p\alpha} \cdot \mathbf{u} + C_p u^2 + D_p (e_{p\alpha} \cdot \mathbf{u})^2 \\ + E_p (e_{p\alpha} \cdot \mathbf{u})^3 + F_p e_{p\alpha} \cdot \mathbf{u}^3 + O(u^4). \end{aligned} \quad (19)$$

$f_{p\alpha}^{eq}$ 中的展开系数可根据守恒律和动力学规律的要求来确定.

由质量、动量、能量守恒及伽利略不变性可得

$$\begin{aligned} \rho = A_0 + 6A_1 + 6A_2, \\ C_0 + 6C_1 + 6C_2 + 3D_1 + 9D_2 = 0, \end{aligned} \quad (20)$$

$$\begin{aligned} 3B_1 + 9B_2 = \rho, \\ \frac{9}{4} E_1 + \frac{81}{4} E_2 + 3F_1 + 9F_2 = 0, \end{aligned} \quad (21)$$

$$\begin{aligned} \rho \epsilon = 3A_1 + 9A_2, \\ 3C_1 + 9C_2 + \frac{3}{2} D_1 + \frac{27}{2} D_2 - \frac{1}{2} \rho = 0, \end{aligned} \quad (22)$$

$$\frac{3}{2} D_1 + \frac{27}{2} D_2 = \rho. \quad (23)$$

在局域平衡下

$$\mathbf{q}^{eq} = 0, \quad (24)$$

可得

$$\frac{3}{4} B_1 + \frac{27}{4} B_2 = \rho \epsilon, \quad (25)$$

$$3F_1 + 27F_2 + \frac{9}{4} E_1 + \frac{243}{4} E_2 = \rho, \quad (26)$$

而

$$q_i^{(1)} = \left(\frac{1}{4} - \frac{\tau}{2} \right) \left(-4\epsilon^2 \frac{\partial}{\partial x_i} \rho - 4\rho \epsilon \frac{\partial}{\partial x_i} \epsilon \right)$$

$$\begin{aligned}
& + \rho \frac{\partial}{\partial x_i} \epsilon + \epsilon \frac{\partial}{\partial x_i} \rho + 18 \frac{\partial}{\partial x_i} A_2 - 2u^2 \frac{\partial}{\partial x_i} \rho \epsilon \\
& + 18 \frac{\partial}{\partial x_i} C_2 u^2 + \frac{27}{2} \frac{\partial}{\partial x_i} D_2 u^2 - 2u_j \frac{\partial}{\partial x_i} \rho \epsilon u_j \\
& - 6 \frac{\partial}{\partial x_j} \rho \epsilon u_i u_j + \frac{\partial}{\partial x_i} \rho u_i u_j + 27 \frac{\partial}{\partial x_j} D_2 u_i u_j \Big].
\end{aligned}$$

根据 Fourier 热导定律要求: $q_i^{(1)} = -\lambda \nabla \epsilon$, 即

$$\frac{\partial A_2}{\partial \rho} = \frac{1}{18} (4\epsilon^2 - \epsilon),$$

令 $A_2 = A_2(\rho, \epsilon)$, 可得

$$A_2 = \frac{1}{18} \rho (4\epsilon - 1) + f(\epsilon), \quad (27)$$

同理可以求出

$$C_2 = \frac{1}{18} \rho \left(\frac{1}{2} - 2\epsilon \right) \text{ (取积分常数为零)}, \quad (28)$$

$$D_2 = \frac{1}{27} \rho (6\epsilon - 1) \text{ (取积分常数为零)}, \quad (29)$$

最后得

$$\begin{aligned}
q_i^{(1)} = & \left(\frac{1}{4} - \frac{\tau}{2} \right) \left[(4\rho\epsilon + 18f'(\epsilon)) \frac{\partial}{\partial x_i} \epsilon \right. \\
& \left. - 3u^2 \frac{\partial}{\partial x_i} \rho \epsilon \right].
\end{aligned}$$

在压差不大的情况下略去三阶小量

$$q_i^{(1)} = -\lambda \frac{\partial \epsilon}{\partial x_i} = -\lambda \nabla \epsilon,$$

其中 $\lambda = -\left(\frac{1}{4} - \frac{\tau}{2} \right) [4\rho\epsilon + 18f'(\epsilon)]$. 取 $f(\epsilon) = k\epsilon$, 可得 $f'(\epsilon) = k$. 就有 $\lambda = (2\rho\epsilon + 9k) \left(\tau - \frac{1}{2} \right)$.

联立求解方程 (20)–(29), 可得 $f_{\rho\alpha}^{eq}$ 的系数的一组解:

$$A_0 = \rho \left(1 - \frac{8}{3}\epsilon + \frac{8}{3}\epsilon^2 \right) + 12k\epsilon,$$

$$A_1 = \frac{1}{6} \rho (3 - 4\epsilon) - 3k\epsilon,$$

$$A_2 = \frac{1}{18} \rho (4\epsilon - 1) + k\epsilon,$$

$$B_1 = \rho \left(\frac{1}{2} - \frac{2}{3}\epsilon \right),$$

$$B_2 = \frac{1}{18} \rho (4\epsilon - 1),$$

$$C_0 = \frac{4}{3} \rho (2\epsilon - 1),$$

$$C_1 = \rho \left(\frac{1}{3}\epsilon - \frac{1}{4} \right),$$

$$C_2 = \frac{\rho}{18} \left(\frac{1}{2} - 2\epsilon \right),$$

$$D_1 = \rho (1 - 2\epsilon), D_2 = \frac{1}{27} \rho (6\epsilon - 1),$$

$$E_1 = -\frac{2}{9} \rho, \quad E_2 = \frac{2}{81} \rho,$$

$$F_1 = F_2 = 0. \quad (30)$$

同时可得本构方程、Navier-Stokes 方程和热传导方程:

$$\mathbf{P}_{ij} = -p\delta_{ij} + 2\mu \left[s_{ij} - \frac{1}{2} s_{kk} \delta_{ij} \right], \quad (31)$$

$$\begin{aligned}
& \frac{\partial}{\partial t} \rho \mathbf{u} + \nabla \cdot \rho \mathbf{u} \mathbf{u} + \nabla p - 2 \nabla \\
& \cdot \left[\mu \left(\hat{s} - \frac{1}{2} \nabla \cdot \mathbf{u} \hat{\mathbf{I}} \right) \right] = 0. \quad (32)
\end{aligned}$$

$$\begin{aligned}
\frac{\partial \rho \epsilon}{\partial t} = & -\nabla \cdot (\lambda \nabla \epsilon) - \nabla \cdot (\rho \epsilon \mathbf{u}) - p \nabla \cdot \mathbf{u} \\
& + 2u \hat{s} : \nabla \mathbf{u} - 2\mu (\nabla \cdot \mathbf{u})^2, \quad (33)
\end{aligned}$$

其中 $p = \rho \epsilon$ 为有效压力, $s_{ij} = \frac{1}{2} \left(\frac{\partial u_i}{\partial x_j} + \frac{\partial u_j}{\partial x_i} \right)$ 为变形速度对称张量, $\mu = \rho \epsilon \left(\tau - \frac{1}{2} \right)$ 为切粘滞系数, $\lambda = (2\rho\epsilon + 9k) \left(\tau - 0.5 \right)$ 为热导系数.

2.3 参数 k 的讨论和确定

参数 k 是根据 Fourier 热导定律, 在用热流矢量确定局域平衡分布函数 $f_{\rho\alpha}^{eq}(\mathbf{r}, t)$ 中与质量守恒和能量守恒有关的系数 (A_p, C_p, D_p) 引入的.

该模型的切粘滞系数

$$\mu = \rho \epsilon \left(\tau - \frac{1}{2} \right), \quad (34)$$

热导系数

$$\lambda = (2\rho\epsilon + 9k) \left(\tau - 0.5 \right), \quad (35)$$

由此可得如下结果:

1) 由 (35) 式, $\lambda > 0, \tau > 0.5$, 有 $2\rho\epsilon + 9k > 0$, 从而 $k > -\frac{2\rho\epsilon}{9}$, 即 k 的取值范围为 $-\frac{2\rho\epsilon}{9} < k < \infty$;

2) 综合 (34) 和 (35) 式

$$k = \frac{\rho \epsilon \left(\frac{\lambda}{\mu} - 2 \right)}{9} \quad \text{或} \quad k = \frac{(\lambda - 2\mu)}{9 \left(\tau - \frac{1}{2} \right)},$$

$$P_r = \frac{\mu}{\lambda} \begin{cases} > \frac{1}{2}, & -\frac{2\rho\epsilon}{9} < k < 0, \\ = \frac{1}{2}, & k = 0, \\ < \frac{1}{2}, & k > 0. \end{cases}$$

总之, 给定了 ρ, ϵ 和描述热流体的 Prandtl 数, 就可

求出 k 的具体数值, 同样地, 给定了 ρ, ϵ 和 k , 则 prandtl 数也就确定了. 对比上式可见, 文献 [7—11] 所研究的模型就是当 $Pr = 1/2, k = 0$ 的情况.

3 Couette 流的数值模拟

Couette 流流场区域如图 2 所示. 设上边界流速为 u_a , 温度为 T_a , 下边界流速为零, 温度为 T_b (这里直接用温度表示内能), 由 (32) 和 (33) 式可求出 Couette 流稳定时的解析解为

$$u_x = \frac{y}{h} u_a, \quad T = -\frac{1}{2} \frac{\mu}{\lambda} \left(\frac{u_a}{h} \right)^2 y^2 + \frac{T_a - T_b + \frac{1}{2} \frac{\mu}{\lambda} u_a^2}{h} y + T_b.$$

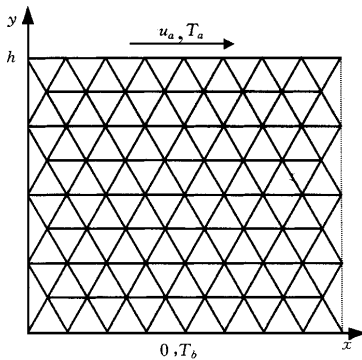
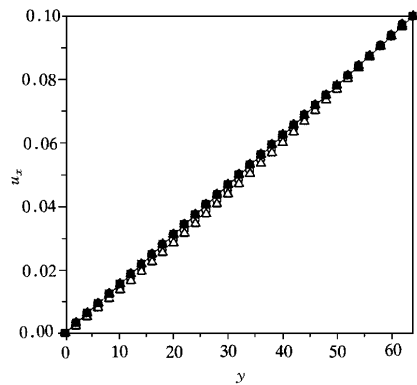


图 2 流场区域图

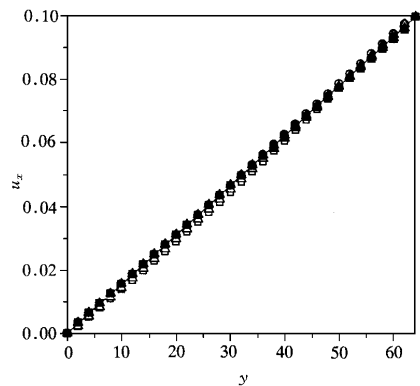
为了用本文的模型按 (1) 式模拟 Couette 流, 把流场划分为 32×64 网格, 左右边界采用周期性边界条件, 以模拟水平方向为无限大的流场. 上、下边界是恒速、恒温边界, 通过强制施加局域平衡分布来实现. 流场初始分布采用匀密度、匀温度的局域平衡分布 (实验表明, 初值的选取对最终结果并无影响, 而只影响达到定态的时间步数). Reynolds 数定义为 $Re = \frac{u_a L}{\nu}$, 其中 $L =$ 网格的竖向尺寸 $\times \sqrt{3}/2, \nu$ 为运动粘滞系数, $\nu = \mu/\rho$, 选择不同的 τ , 可得不同的 Re . 对 $Re = 20, k = 0.1, 0, -0.13; Re = 3000, k = -0.1, -0.13, -0.15$ 且上、下边界等温及上、下边界有温差的 Couette 流进行了模拟 (模拟中初始密度取 2.6, 初始温度取 0.5). 理论、数值模拟的结果及有关数据示于图 3 和图 4.

4 小 结

本文在用热流矢量确定局域分布函数的系数时, 引进了参数 k , 使导热系数 $\lambda = (2\rho\epsilon + 9k)(\tau - 0.5)$, 因而描述热流体性质的 Pr 数随 k 的取值而异, 所以该模型可以描述不同性质的热流体. 用该模型模拟 Couette 流时, 图 3 所示的结果表明, 流场中的速度分布的模拟结果与理论结果精确符合; 而在如图 4 所示流场温度分布的模拟结果表明, 在上、下边界等温的情况下, 当 $Re = 20, k = 0.1; Re = 3000, k = -0.10$ 时, 数值模拟结果与理论结果的相对误

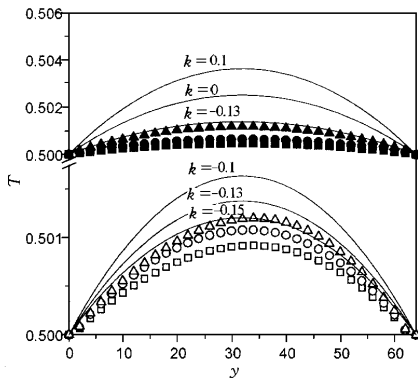


(a) 上、下边界等温情况

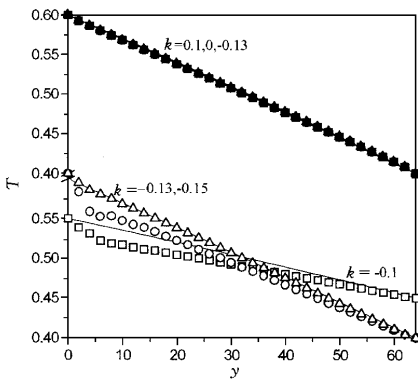


(b) 上、下边界有温差情况

图 3 Couette 流的速度分布图 —— 为解析解, ■, ●, ▲ 为 $Re = 20, k$ 分别为 0.1, 0, -0.13 的模拟结果, □, ○, △ 为 $Re = 3000, k$ 分别为 -0.1, -0.13, -0.15 的模拟结果



(a) 上、下边界等温情况



(b) 上、下边界有温差情况

图 4 Couette 流的温度分布图 符号说明同图 3

差在 0.8% 以内,且当 k 变小时,其误差显著减小. 在上、下边界存有温差的情况下,对于 $Re = 20$ 的数值模拟结果与理论结果精确符合;而在 $Re = 3000$, $k = -0.1$ 时,数值模拟结果与理论结果的相对误差的最大值在 3% 以内,随着 k 值变小,其误差也显著减小,当 $k = -0.15$ 时,数值模拟结果与理论结果也精确符合. 综上所述,该模型在高 Reynolds 数的情况下仍能模拟流体的真实行为,因此该模型可望用于湍流的研究.

- [1] G. R. McNamara, B. Alder, G. Zanetti, *Phys. Rev. Lett.*, **61** (1988) 2322.
- [2] Y. H. Qian, D. d'Humieres, P. Lallemand, *Euro. Phys. Lett.*, **17** (1992) 479.
- [3] H. Chen, S. Chen, W. H. Matthaeus, *Phys. Rev.*, **A45** (1992), 5339.
- [4] 李元香等, *计算物理*, **12** (1995) 457 [Li Yuan-xiang *et al.*, *Jisuan Wuli*, **12** (1995) 457 (in Chinese)].
- [5] 聂小波, *计算物理*, **15** (1998) 1 [Nie Xiao-bo *Jisuan Wuli*, **15** (1998) 1 (in Chinese)].
- [6] Fang Hai-ping, Lin Zhi-fang, Tao Rui-bao, *Chin. Phys. Lett.*, **14** (1997) 912.
- [7] F. J. Alexander, S. Chen, J. D. Sterling, *Phys. Rev.*, **E47** (1993) R2249.
- [8] Y. Chen, H. Ohashi, M. Akiyama, *J. Stat. Phys.*, **81** (1/2) (1995) 71.
- [9] 李克平等, *广西师范大学学报(自然科学版)*, **4** (1997) 7 [Li Ke-ping *et al.*, *J. Guangxi Normal University (Natural Science Edition)*, **4** (1997) 7 (in Chinese)].
- [10] 熊盛武等, *计算物理*, **15** (1998) 439 [Xiong Shen-wu *et al.*, *Jisuan Wuli*, **15** (1998) 439 (in Chinese)].
- [11] He Guang, Zhao Kai-hua, *Commun. Theor. Phys.*, **29** (1998), 623.

A 13-SPEED LATTICE-BHATNAGAR-GROSS-KROOK MODEL IN THERMOHYDRODYNAMICS RESEARCH*

LI HUA-BING

(*Department of Guilin-Electronic-Industry-Institute, Guilin 541004*)

KONG LING-JIANG LIU MU-REN HE YUN

(*Department of Physics and Electronic Science, Guangxi Normal University, Guilin 541004*)

(Received 10 February 1999 ; revised manuscript received 13 July 1999)

ABSTRACT

A 13-speed lattice Bhatnagar-Gross-Krook model on hexagonal lattice is used to investigate thermohydrodynamics. An adjustable parameter k is introduced in the process to determine the parameter in local equilibrium distribution function according to Fourier law. As a result, the thermal conductivity is $\lambda = (2\rho\epsilon + 9k)(\tau - 0.5)$, so that the Prandtl number becomes tunable and Reynolds number can be raised effectively.

PACC : 0540 ; 0351

* Project supported by the National Natural Science Foundation of China (Grant No. 19762001) and the Natural Science Foundation of Guangxi Zhuang Autonomous Region of China (Grant No. 96130057).